

## بررسی تاثیر شکل گرم و بازپخت بر ریز ساختار آلیاژهای بین فلزی بر پایه TiAl

سعید حشمتی منش

استادیار گروه مهندسی متالورژی - دانشکده فنی - دانشگاه تهران

سید فرشید کاشانی بزرگ

استادیار گروه مهندسی متالورژی - دانشکده فنی - دانشگاه تهران

(تاریخ دریافت ۱۸/۳/۷۷، تاریخ تصویب ۲۸/۶/۷۷)

### چکیده

در این مقاله تغییرات انجام شده در ریز ساختار آلیاژهای TiAl -  $\alpha$  حاوی Si بعد از تغییر شکل گرم و نیز بازپخت مورد بررسی قرار گرفته است. عوامل موثر در عملیات ترمومکانیک مثل دمای تغییر شکل، نسبت تغییر شکل و دمای بازپخت مورد مطالعه قرار گرفته‌اند. تغییر شکل تکدما در دماهای زیر خط یوتکتوئید  $\alpha + \alpha_2 \rightarrow \alpha$  منجر به تجدید تبلور دینامیک بصورت غیر همگن در زمینه آلیاژها شده و دانه‌های ریز و هم محور در نواحی تجدید تبلور یافته بdest می‌آید در حالیکه در سایر نواحی ساختار لایه‌ای  $\alpha + \alpha_2$  بصورت تغییر شکل یافته باقی می‌ماند. ملاحظه شده است که در ضمن تغییر شکل، سیلیسایدهای یوتکتیکی سخت، نقش مهمی را در تخریب ساختار ریختگی ایفا می‌نمایند. همچنین نشان داده شده است که حضور سیلیسایدهای یوتکتیکی و بخصوص سیلیسایدهای ریزی که در محلول جامد رسوب می‌کنند رشد دانه‌هایی را که در ضمن تجدید تبلور دینامیکی و نیز تجدید تبلور استاتیکی در حین بازپخت ایجاد می‌شوند محدود نموده و ساختاری دانه ریز را موجب می‌شوند.

**کلید واژه‌ها:** آلیاژهای بین فلزی، تیتانیم آلومیناید، عملیات ترمومکانیک، ریزساختار، تبلور مجدد، تغییر شکل گرم، بازپخت، ساختار لایه‌ای، مرزهای ضدفاز، تیتانیم سیلیساید

### مقدمه

مبذول گردیده است. این کوشش‌ها از طریق اصلاح ترکیب شیمیایی و کنترل ریز ساختار با موقوفیت‌هایی همراه بوده<sup>۱</sup> است [۱]. یک روش دیگر جهت بهبود چقرمگی شکست بررسی ایده کامپوزیت با استفاده از تیتانیم آلومیناید بعنوان ماتریس می‌باشد [۲]. استفاده از واکنش‌های یوتکتیکی برای ایجاد کامپوزیت‌های در جا<sup>(۱)</sup> می‌تواند ترکیبی از خواص سودمند ترکیبات بین فلزی را همراه با چقرمگی شکست مناسب ناشی از تشکیل کامپوزیت بدست دهد. در این رابطه توسعه آلیاژهای گاما بر پایه سیستم Ti-Al-Si می‌تواند غلبه بر برخی از مسائل مربوط به آلیاژهای غیر کامپوزیتی یا مونولیتیک<sup>(۲)</sup> را امکان پذیر نماید. پخش ذرات سیلیساید می‌تواند زمینه آلیاژ را سخت نماید و موجب پایداری ریز ساختار در دماهای بالا

یکی از زمینه‌های بسیار فعال در تحقیقات جاری بر روی آلیاژهای بین فلزی، مربوط به آلیاژهای بر پایه TiAl یا آلیاژهای گاما می‌باشد. آلیاژهای تیتانیم-آلومیناید بر پایه TiAl بدليل دانسته پایین، نقطه ذوب بالا، قابلیت حفظ استحکام و صلابت در دمای بالا، مقاومت به اکسیداسیون و جذب هیدروژن و خواص خزشی عالی، پتانسیل بسیار خوبی برای تبدیل شدن به یکی از مهمترین مواد مورد استفاده در صنعت هوا فضا دارند. آنچه مانع از کاربرد آنها می‌شود قابلیت شکل پذیری کم آنها در دماهای پایین و متوسط است که منجر به کاهش چقرمگی شکست و رشد سریع ترک خستگی می‌گردد. در طی چند سال گذشته کوشش‌های بسیار زیادی در جهت بهبود این خواص ضمن حفظ مشخصه‌های جالب این آلیاژها در دماهای بالا

یافته خاتمه می‌یافت. بعد از تغییر شکل، طول نهایی نمونه‌ها بدقت اندازه‌گیری شد، تا محاسبه مقدار کرنش با دقت انجام شود. مقدار کرنش حقیقی اعمال شده بر روی نمونه‌ها در محدوده  $0/2 \text{ تا } 1/4$  بود. ریز ساختار هر نمونه تغییر شکل یافته در مقاطع قائم (موازی با محور اعمال نیرو) وافقی (عمود بر جهت اعمال نیرو) مورد مطالعه قرار گرفت.

برای انجام عملیات حرارتی، هر یک از نمونه‌ها در زرورق  $M_0$  پیچیده شده و در لوله‌های کوارتز قرار داده شدند. لوله‌ها بعد از خلاء نمودن، با گاز آرگون پر شده و بسته شدند. هر نمونه داخل لوله در یک کوره لوله‌ای قائم به مدت دو ساعت در دمای مورد نظر عملیات حرارتی شده و سپس با سرعت مناسب سرد شد.

برای مطالعه ریز ساختارها از میکروسکوپ نوری مجهر به نور پلازیزه، میکروسکوپ الکترونی روبشی (SEM) و عبوری (TEM) استفاده شد.

## نتایج

### ریز ساختار نمونه‌های ریخته شده

ریز ساختار آلیاژها در حالت ریخته شده متشکل از ماتریسی از ساختار لایه‌ای ( $\alpha_2 + \gamma$ ) و فاز  $\gamma$  همراه با سیلیساید‌های یوتکتیکی است. ریز ساختار نمونه A1 مورفولوژیهای گوناگونی از ساختارهای یوتکتیکی را نشان می‌دهد که در مراحل مختلف انجماد تشکیل شده‌اند، شکل ۱. در نمونه‌های با مقادیر Si کمتر (A3 و A2) و کسر حجمی پایین‌تری از ساختار یوتکتیکی حاصل می‌شود. تفسیر واکنشهای انجماد که منجر به تشکیل ریز ساختارها می‌شوند با استفاده از منظره تصویر شده سطوح لیکیدوس سیستم سه تایی Ti-Al-Si در مقاله‌های دیگری ارائه شده است [۴ و ۳].

ریز ساختار نمونه‌ها در حالت تغییر شکل یافته عموماً مقاطع نمونه‌های تغییر شکل یافته در جهات مختلف، مورفولوژی‌های مختلفی از فازها را نشان می‌دهند. این به دلیل این واقعیت است که در مقطع افقی ماده بطور شعاعی در تمام جهات جريان می‌باید در حالیکه

گردد. همچنین در ضمن عملیات ترمومکانیکی و تبلور مجدد، ذرات سیلیساید می‌توانند به صورت مکان‌های ترجیحی برای جوانه زنی عمل نموده و موجب تشکیل دانه‌های ریز و یکنواخت گردند و شکل پذیری و چقرومگی شکست را تا حدودی بهبود بخشد.

### نحوه انجام آزمایش‌ها

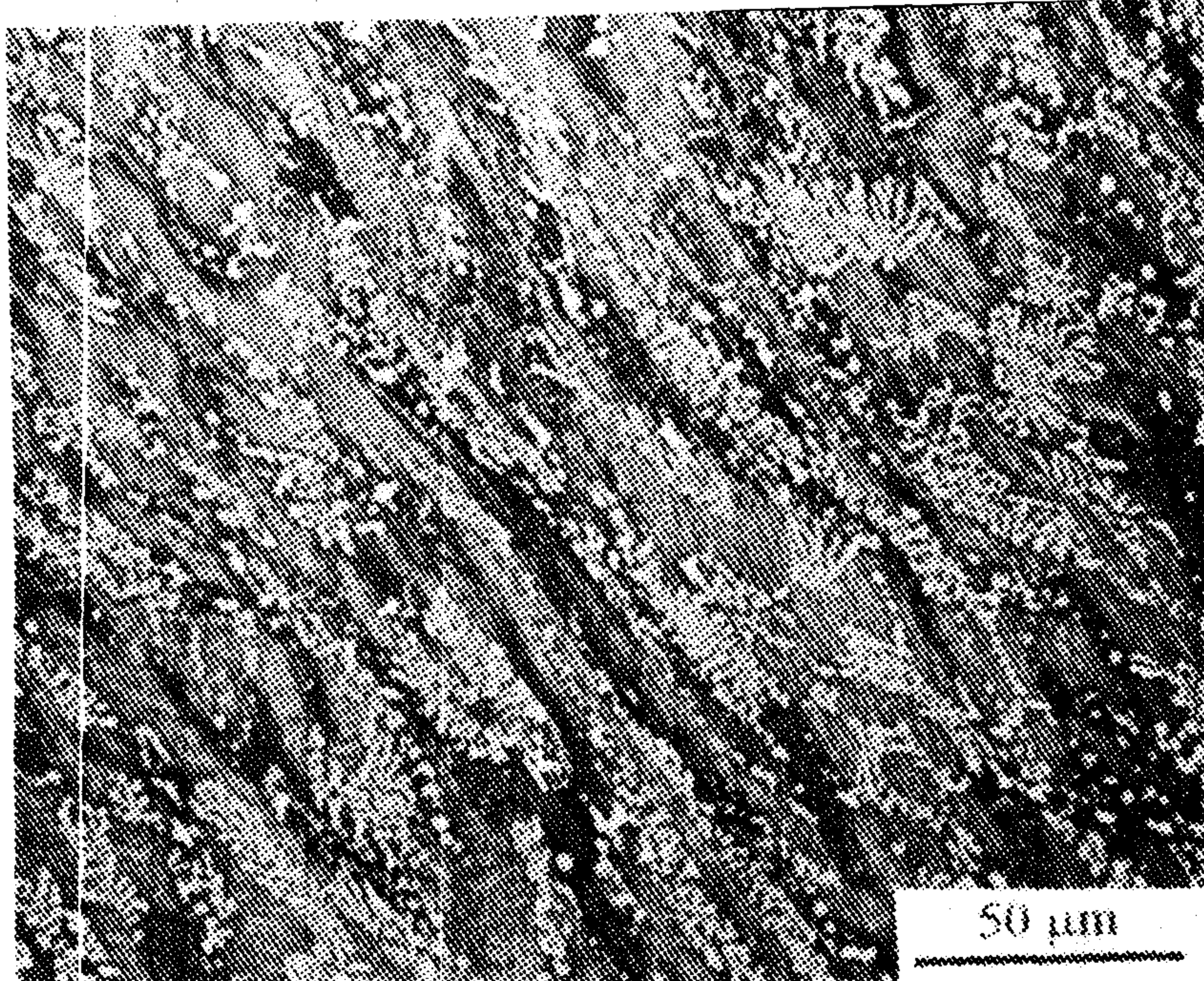
نمونه‌هایی از آلیاژهای سه تایی به وزن ۲۰ گرم با ذوب کردن عناصر خالص در یک کوره قوسی تحت خلاء تهیه شدند. ترکیب آلیاژهایی که در این تحقیق تهیه شده و با A1-A3 مشخص شده‌اند در جدول ۱ آمده است.

جدول ۱ - ترکیب شیمیایی آلیاژها (at.%)

	A1	A2	A3
Ti	۵۰/۱۸	۵۱/۴۸	۵۱/۴۷
Al	۴۶/۳۲	۴۷/۵۲	۴۸/۰۳
Si	۳/۵	۱	۰/۵

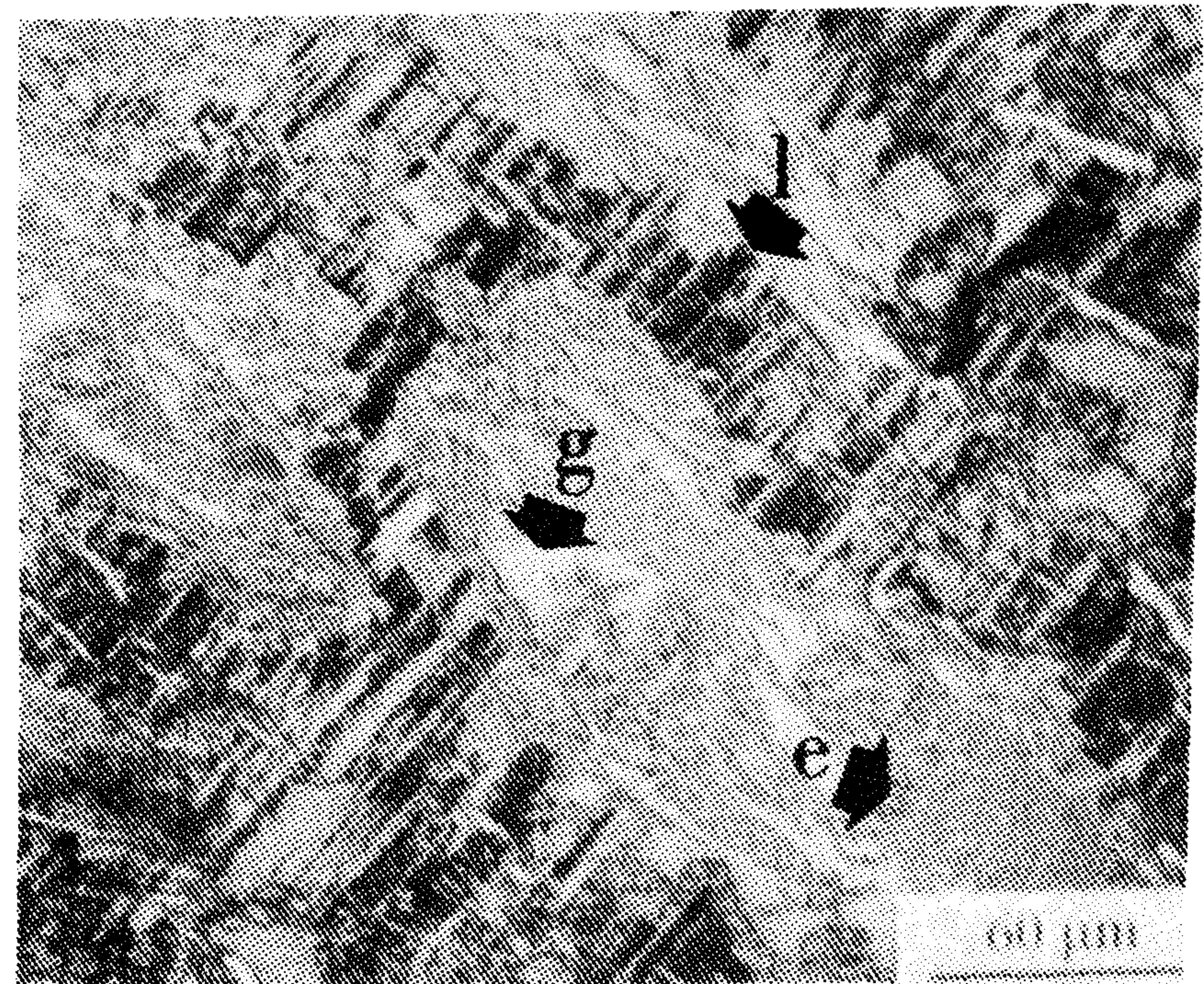
جهت بررسی اثر عملیات ترمومکانیکی بر روی ساختار میکروسکوپی، آزمایش فشار به صورت تک دما انجام شد. نمونه‌های استوانه‌ای شکل بطول ۹mm و قطر ۵mm از آلیاژها تهیه شدند. در تهیه نمونه‌ها سعی شد که سطوح قاعده موازی باهم و عمود بر محور طولی استوانه باشند. قبل از انجام هر آزمایش ابعاد هر نمونه بدقت اندازه‌گیری شد. سپس هر نمونه با محلول Acheson DG19 به کمک قلم مو پوشش داده شده و خشک گردید. این پوشش متشکل از اکسیدهای نسوز بوده و هدف از اعمال آن به حداقل رسانیدن اصطکاک بین نمونه و فکهای دستگاه فشار و نیز جلوگیری از آلودگی آتمسفری در ضمن تغییر شکل گرم بود. وسیله تغییر شکل گرم یک دستگاه آزمایش یونیورسال بود که فشار را بصورت تک محوری اعمال می‌نمود. آزمایش‌ها در هوا و در محدوده دمایی  $1000 \pm 5^\circ\text{C}$  و با سرعت کرنش متوسط  $10^{-3}\text{s}^{-1}$  و  $5 \times 10^{-4}\text{s}^{-1}$  انجام شدند. جهت اطمینان از حفاظت ساختار میکروسکوپی دینامیک نمونه‌ها بعد از تغییر شکل، آزمایش‌ها با تبرید مستقیم نمونه‌های تغییر شکل

توزیع سیلیساید های یوتکتیکی در مقایسه با شرایط ریختگی تغییر قابل ملاحظه ای نمی یابد، شکل ۳.اما در نمونه های با سیلیسیم بالا، که در آنها کسر حجمی سیلیساید بالا است، سیلیساید های درشت به ذرات ریزتری شکسته می شوند و مطابق با جریان یافتن ماده مرتب می شوند.



شکل ۳: تصویر BEI از آلیاژ A1 که در  $1000^{\circ}\text{C}$  و با سرعت کرنش  $10^{-3}\text{s}^{-1}$  و به مقدار کرنش حقیقی  $95\%$  تغییر شکل یافته است؛ مقطع عمودی.

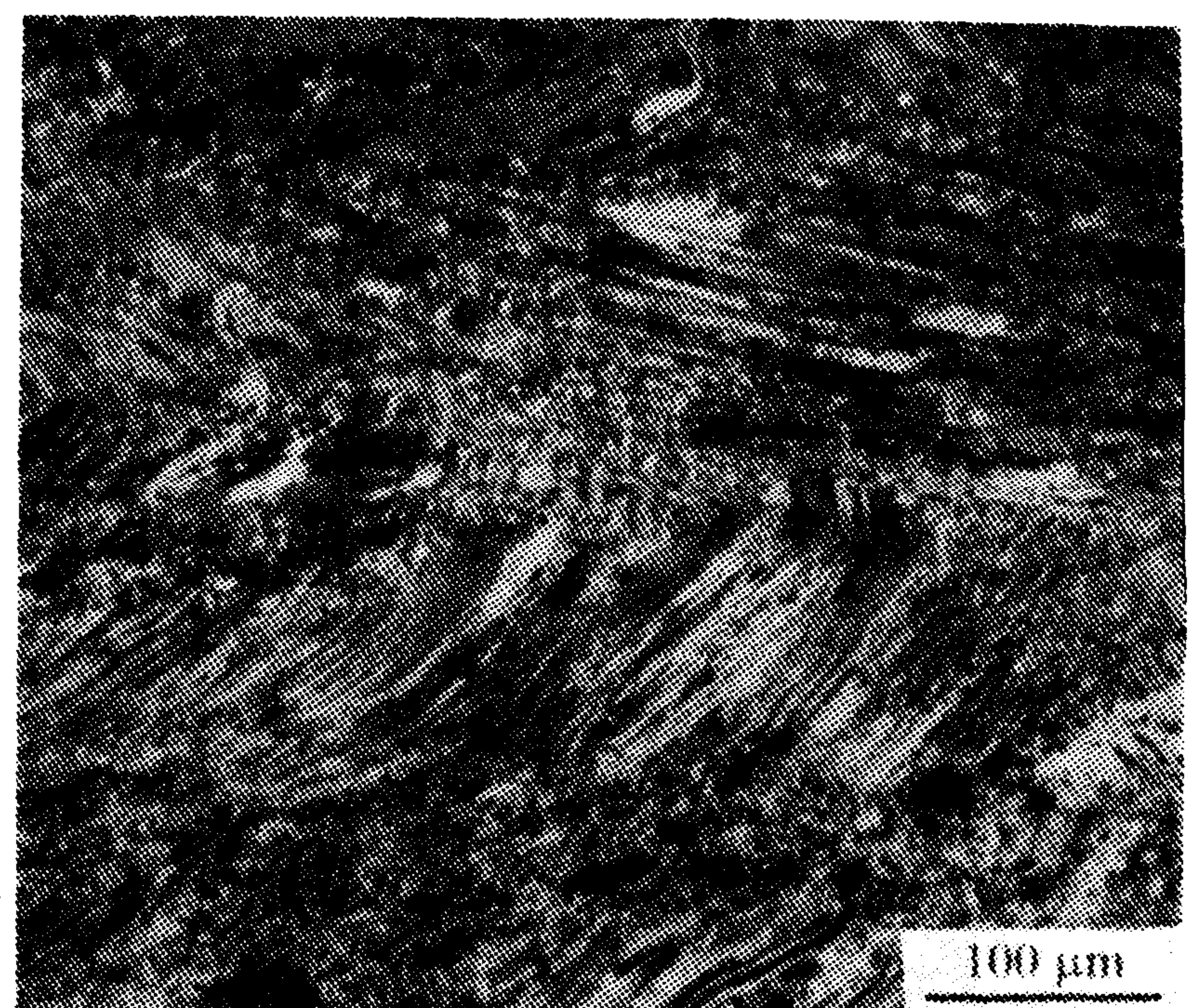
در مقطع قائم ماده تقریبا در یک جهت جریان می یابد. تصاویر تهیه شده از مقاطع افقی نمونه های تغییر شکل یافته، با قیمانده های دانه های تغییر شکل یافته لایه ای را بصورت موجی شکل همراه با دانه های خیلی ریز که بصورت دینامیک تجدید تبلور یافته اند نشان می دهد، شکل ۲.



شکل ۱: ساختار ریختگی آلیاژ A1؛ ۱ = ساختار لایه ای. g = فاز g  
= ساختار یوتکتیک.

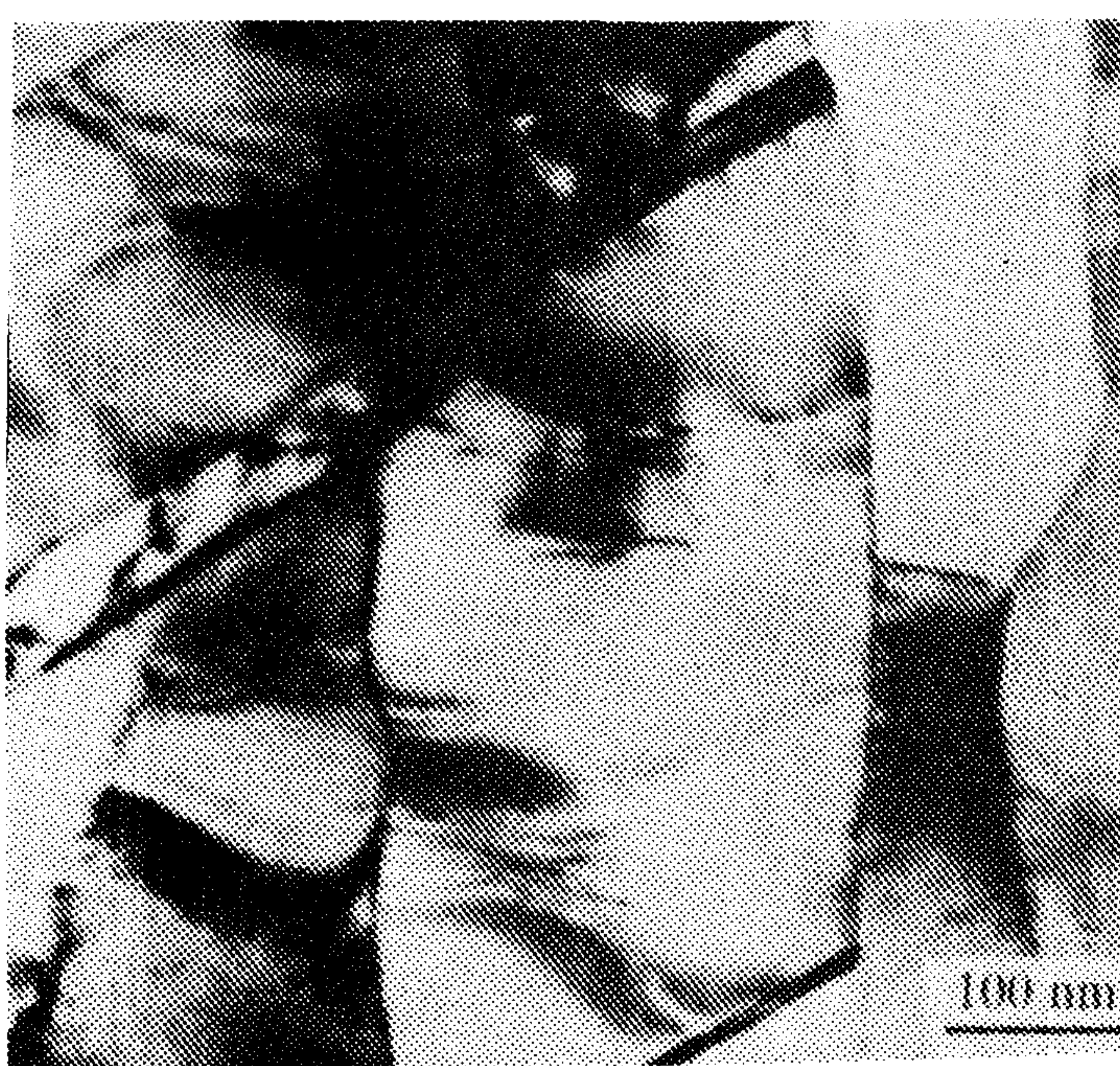
فویل های نازک که از نمونه های تغییر شکل یافته تهیه شدند با TEM مورد مطالعه قرار گرفتند که یک نمونه تصویر در شکل ۴a ملاحظه می شود. این شکل دانه های خیلی ریز به ابعاد تقریبی  $1\mu\text{m}$  را نشان می دهد که با استفاده از الگوهای تفرق به صورت فاز پژوهش اسایی شدند، شکل ۴b. ذرات سیلیساید خیلی ریز در مرز و داخل دانه ها رسوب کردند. به نظر می رسد که این رسوبات مرز دانه هایی را که بصورت دینامیک تجدید تبلور یافته اند قفل نموده و رشد آنها را محدود ساخته اند. در همین تصویر دو سیلیساید یوتکتیکی نیز دیده می شود که اندازه خیلی درشت آنها در مقایسه با ذرات ریز که در حالت جامد رسوب کرده اند قابل توجه می باشد.

در نمونه با کرنش حقیقی بالاتر، تخریب ساختار لایه ای بیشتر صورت پذیرفته و کسر حجمی بالاتری از دانه های ریز تجدید تبلور یافته نتیجه شده است. همچنین در نمونه با سیلیسیم بالاتر کسر حجمی بیشتری از دانه های ریز



شکل ۲: تصویر میکروسکوپی نوری از آلیاژ A3 که در  $1000^{\circ}\text{C}$  و با سرعت کرنش  $10^{-3}\text{s}^{-1}$  و به مقدار کرنش حقیقی  $1/37$  تغییر شکل یافته است؛ مقطع افقی.

تصاویر الکترونی بازگشته<sup>(۱)</sup> از این مقطع نمونه ها نشان می دهد که حتی بعد از مقادیر زیاد تغییر شکل الگوهای



شکل ۵: تصویر TEM از نمونه A1 که در  $1000^{\circ}\text{C}$  و با سرعت کرنش  $10^{-3}\text{S}^{-1}$  و بمقدار کرنش حقيقى  $1/32$  تغيير شكل يافته است.

#### ريز ساختارها بعد از عمليات حرارتى عمليات حرارتى دو مرحله‌اي

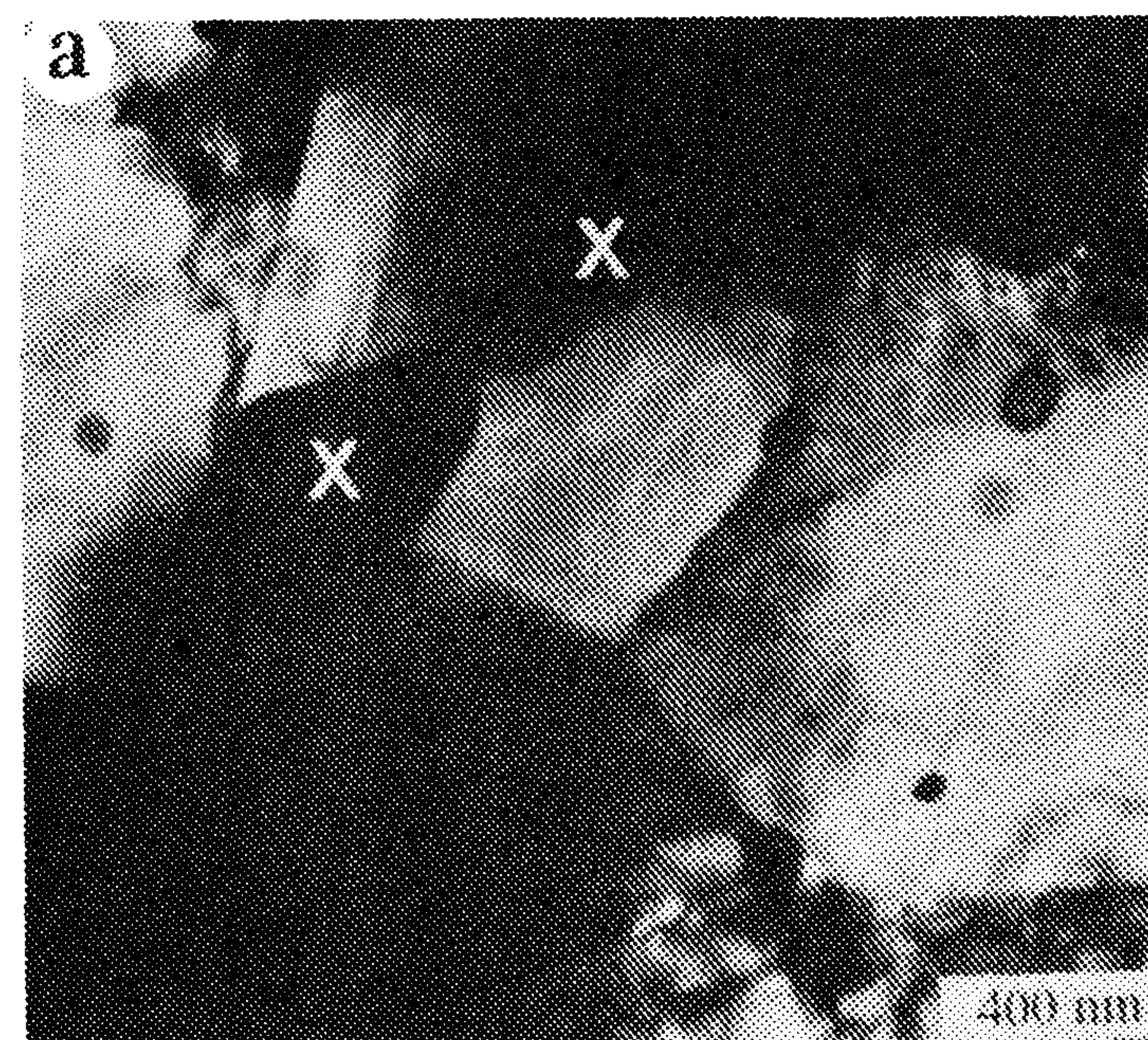
بهترین خواص مکانيکي در آلياژهای دو فازی  $\alpha/\beta$  در آلياژهای با ساختار ريز دوبلكس ملاحظه شده است، و اين ساختار با عمليات حرارتى در دمایي به دست می‌آيد که در آن فازهای  $\alpha$  و  $\beta$  دارای كسرهای حجمی مساوی هستند [۵]. بنابراین در آلياژ دوتایي Ti-48Al نمونه تغيير شكل يافته معمولاً در يك دمای ميانی بازبخت شده و سپس در دمای حدود  $1000^{\circ}\text{C}$  عمليات حرارتى می‌شود. هدف اين عمليات حرارتى دو مرحله‌اي به دست آوردن نسبت درستى از فازهای  $\alpha$  و  $\beta$  در ناحيه دو فازی  $\beta + \alpha$  و سپس پايدار نمودن اين فازها با عمليات حرارتى بعدی در زير خط يوتكتوتيد است. عمليات حرارتى مشابهی روی آلياژهای مورد مطالعه انجام شد.

همانطور که ذکر شد تجدید تبلور ديناميک در ضمن فرآيند تغيير شكل ناکامل بود. عمليات حرارتى دو مرحله‌اي بعدی تجدید تبلور را کامل نموده و ساختاري از دانه‌های تجدید تبلور يافته یکنواخت در سرتا سر ماتريس در نمونه A3 حاصل نمود، شکل ۶.

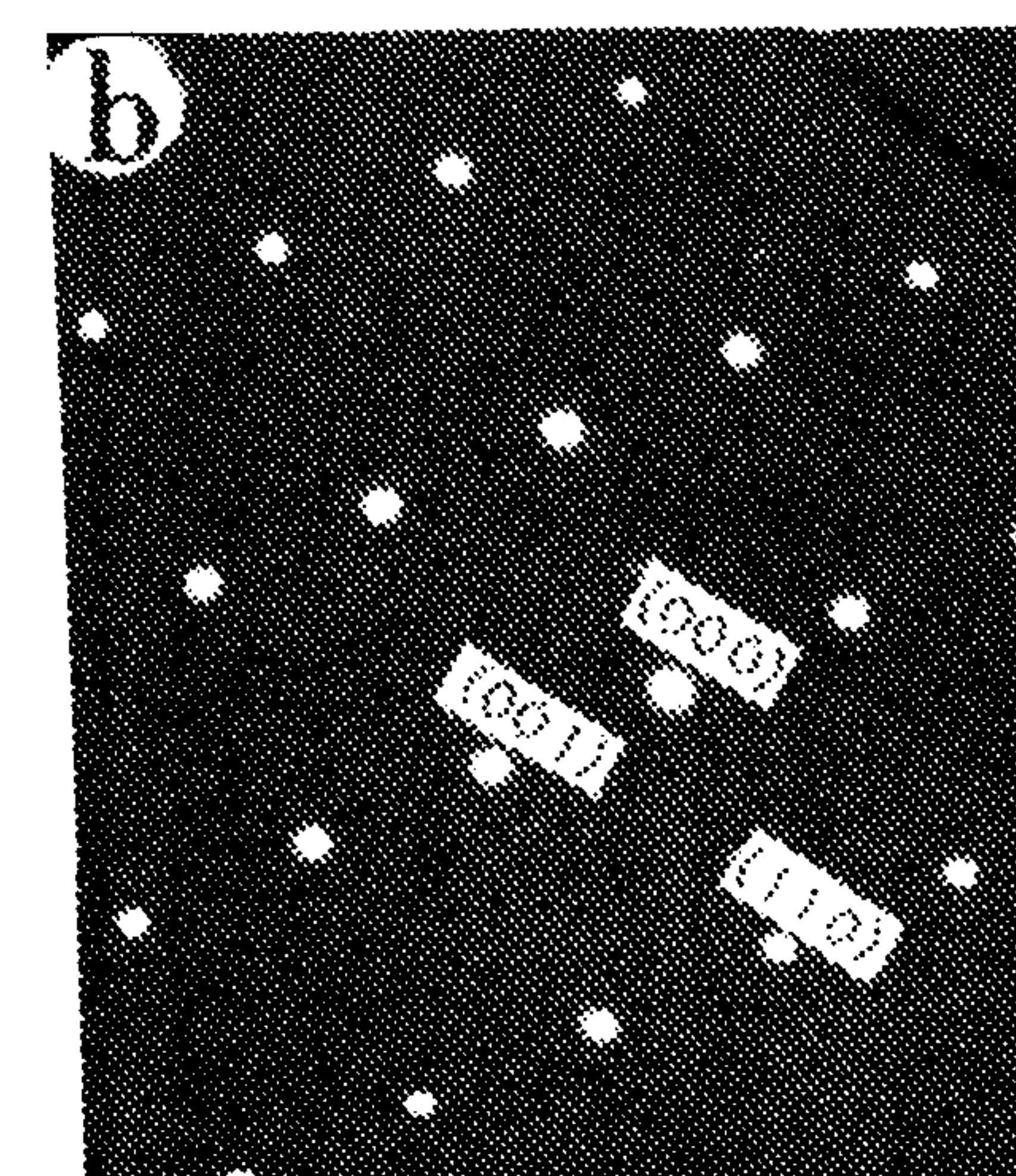
تصویر BE نشان می‌دهد که زمينه عمدتاً  $\beta$  است و مقدار کمی از فاز  $\alpha$  و سيليسايد به طور غير همگن در آن پراکنده‌اند، شکل ۷. نمونه‌های با سيليسيم بالاتر نيز ريز ساختار مشابهی نشان دادند ضمن اينکه هیچ تفاوتی در

حاصل شده و كسر حجمی پاين تری از ساختار لايه‌اي باقی مانده است. اين نشان می‌دهد که كسر حجمی بالاتر سيليسايدهای يوتكتيكی در نمونه با سيليسيم بيشتر مستول تخریب بيشتر ساختار زمينه و تجدید تبلور ديناميک بهتر است.

تصاویر TEM از ساختار لايه‌اي که تغيير شكل يافته مشخصه‌های گوناگونی را به نمايش می‌گذارد که اين تنوع بستگی دارد به اينکه هر يك از دانه‌های لايه‌اي تا چه اندازه تغيير شكل و تجدید تبلور يافته‌اند. در نواحی که كمتر تغيير شكل يافته‌اند شکستگی لايه‌ها دیده نمي‌شود، اما در نواحی شديداً تغيير شكل يافته لايه‌ها با نقصان حاصل از تغيير شكل نظير باندهای لغزش و دوقلوبي متقطع کاملاً خرد شده‌اند، شکل ۵.

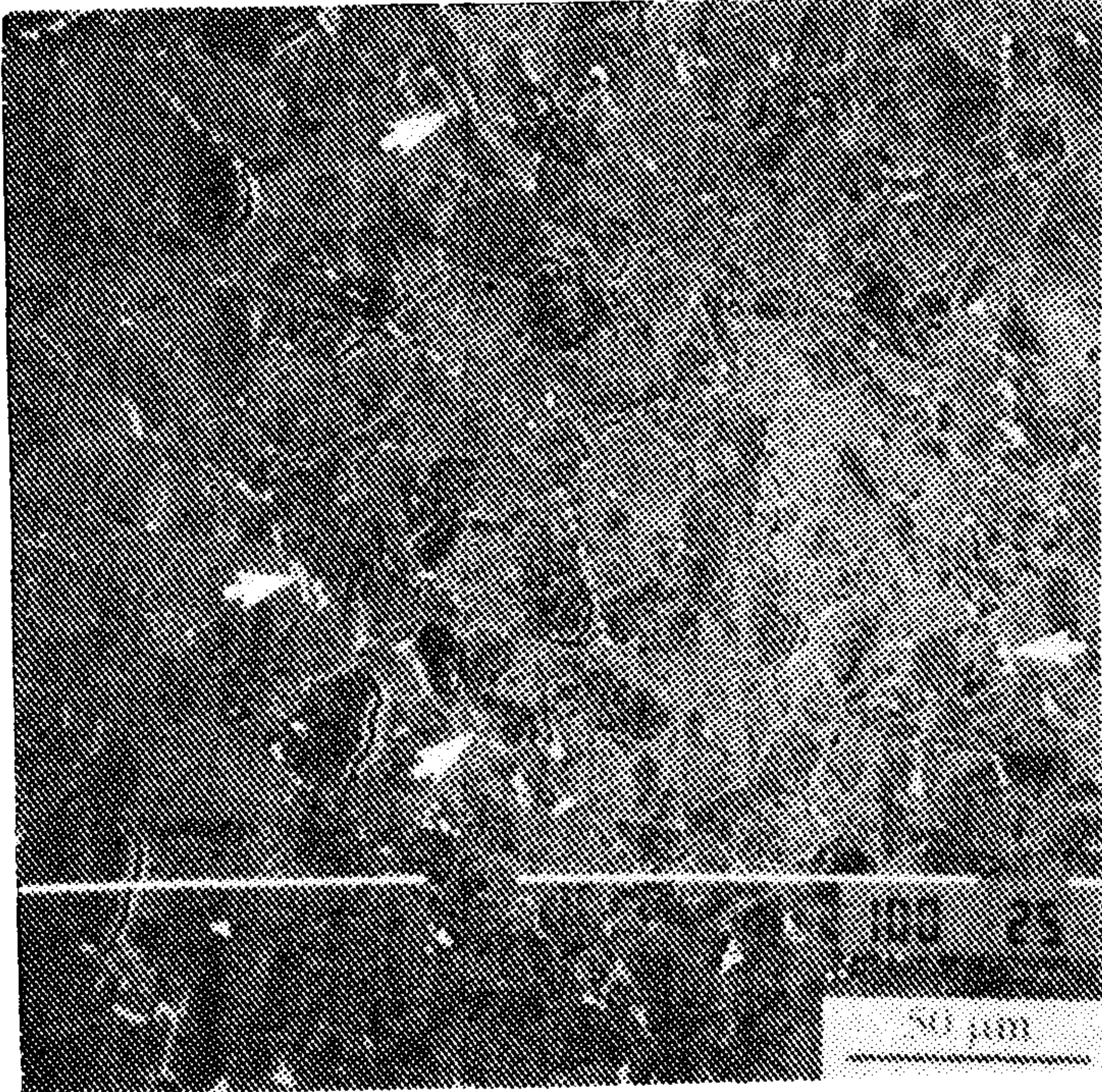


شکل ۴ : (a) تصویر TEM از نمونه A3 که در  $1000^{\circ}\text{C}$  و با سرعت کرنش  $10^{-3}\text{S}^{-1}$  و به مقدار کرنش حقيقى  $1/85$  تغيير شكل يافته است؛ سيليسايدهای درشت يوتكتيكی با علامت X مشخص شده‌اند.



(b) الگوي تفرق از دانه‌اي که در قسمت پاين تصویر a واقع شده و  $\gamma_{\text{z}} = [1\bar{1}0]$  بصورت ايندکس شده است.

مرحله‌ای و در دمای بازپخت بالاتری حاصل شود. در این قسمت ریزساختار نمونه‌هایی با مقادیر مختلف سیلیسیم بعد از پرس کاری گرم و عملیات حرارتی بعدی در  $1290^{\circ}\text{C}$  و یا در  $1330^{\circ}\text{C}$  مطالعه شده است. درین قسمت در واقع مرحله دوم عملیات حرارتی که قبل از درباره آن صحبت شد حذف شده است.

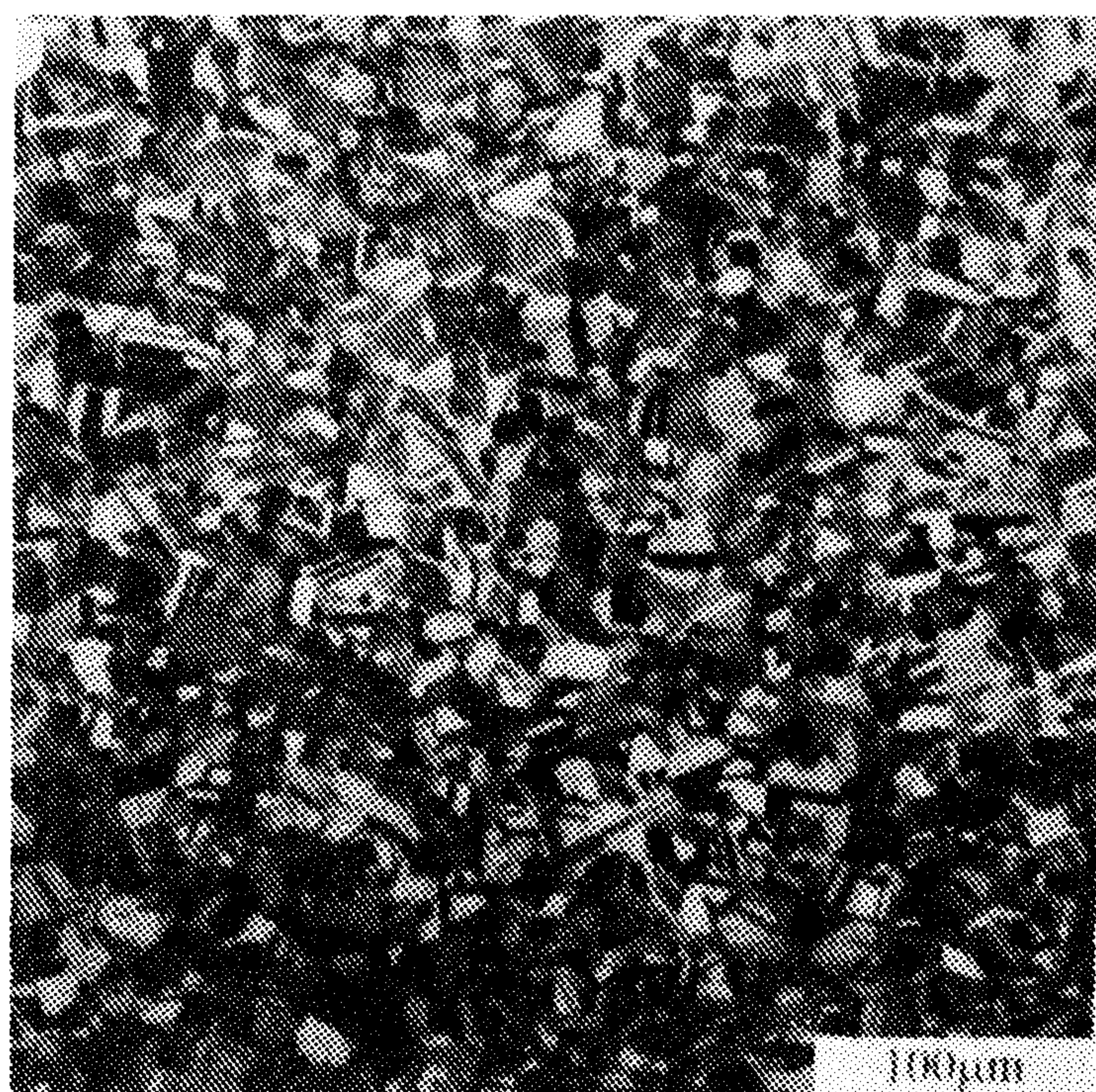


شکل ۷: تصویر الکترونی بازگشته از نمونه شکل ۶؛ ذرات فاز  $\alpha_2$ ، با فلش مشخص شده‌اند.

بررسی انجام شده نشان داد که نمونه‌های با مقادیر مختلف سیلیسیم که در  $950^{\circ}\text{C}$  با سرعت کرنش  $5 \times 10^{-4} \text{s}^{-1}$  تغییر شکل داده شده و سپس در  $1290^{\circ}\text{C}$  عملیات حرارتی شده‌اند همگی ریزساختارهای متتشکل از دانه‌های هم محور دارند، شکل ۸. در مقایسه با نمونه‌های تغییر شکل داده شده در  $1000^{\circ}\text{C}$  که قبل از دانه‌ها اشاره شد، این نتیجه حاصل گردید که کاهش  $50^{\circ}\text{C}$  در دمای تغییر شکل اثر مهمی بر روی اندازه نهایی دانه‌ها ندارد.

تصویر BE از نمونه A3 یک ساختار دوبلکس را نشان می‌دهد که در آن کسر حجمی مساوی از دو فاز  $\alpha_2$  و  $\gamma$  وجود دارند، شکل ۹a. نمونه‌های A2 و A1 فقط زمینه‌ای متتشکل از فاز  $\gamma$  را نشان می‌دهند، شکل ۹b.

ریزساختار نمونه‌ای از آلیاژ A2 که بعد از تغییر شکل در  $1330^{\circ}\text{C}$  بازپخت شده است کسر حجمی بالایی از ساختار لایه‌ای را نشان می‌دهد، شکل ۱۰. عملیات حرارتی، ماتریسی دو فازی متتشکل از دانه‌های درشت



شکل ۶: تصویر میکروسکوپی نوری از آلیاژ A3 که در  $1000^{\circ}\text{C}$  و با سرعت کرنش  $5 \times 10^{-4} \text{s}^{-1}$  و بمقدار کرنش حقیقی  $1/3$  تغییر شکل یافته و سپس در  $1290^{\circ}\text{C}$  به مدت ۲ ساعت و بعد در  $1000^{\circ}\text{C}$  به مدت ۴ ساعت بازپخت شده است؛ مقطع افقی.

ساختار دانه‌ها در مقاطع افقی و قائم هر نمونه ملاحظه نگردید. تصاویر SEM نشان داد که توزیع سیلیساید در مقایسه با حالت تغییر شکل یافته تغییر ننموده است. مقایسه اندازه دانه‌ها در نمونه‌های با مقادیر سیلیسیم مختلف نشان می‌دهد که اندازه متوسط دانه‌ها با افزایش مقادیر سیلیسیم کاهش می‌یابد. این به دلیل اهمیت نقش ذرات سیلیساید در تجدید تبلور دینامیک و استاتیک و اثر آنها در محدود نمودن رشد دانه‌ها است. تصاویر SEM همچنین نشان می‌دهد که فاز  $\alpha_2$  در زمینه  $\gamma$  غایب است. فاز  $\alpha_2$  فقط در نزدیکی سطوح آزاد نمونه و نیز مناطق مرده تغییر شکل وجود داشت. میکروسکوپی الکترونی عبوری و الگوهای پراش از نمونه A2 نیز تایید نمود که فاز زمینه تمام‌الزاست و فاز  $\alpha_2$  تشخیص داده شده نشد.

عملیات حرارتی تک مرحله‌ای در قسمت قبلی ملاحظه شد که تغییر شکل و عملیات حرارتی دو مرحله‌ای بعدی ریزساختاری را به دست می‌دهد که عمدتاً متتشکل از فاز  $\gamma$  است و فاز  $\alpha_2$  در آن موجود نمی‌باشد. نظر به اهمیتی که فاز  $\alpha_2$  در ارتباط با افزایش چکش خواری آلیاژهای  $\gamma$  دارد، جالب خواهد بود که ببینیم که آیا این فاز می‌تواند بعد از عملیات حرارتی یک

لایه‌ای به قطر تقریبی  $70$  میکرون، همراه با دانه‌های ریزتر فاز  $\gamma$  با قطر تقریبی  $15$  میکرون را به دست می‌دهد. اندازه بزرگ دانه‌های لایه‌ای به واسطه رشد فاز مادر  $\alpha_2 + \gamma$  در دمای بالا می‌باشد.

تصویر میکروسکوپ نوری از یک نمونه تغییر شکل داده شده از آلیاژ A1 که در شرایط مشابهی مورد عملیات قرار گرفته است ساختاری ریز دانه را نشان می‌دهد، شکل ۱۱. تصویر SEM مشخص نمود که عملیات حرارتی دمای بالا در این مورد نیز موجب تشکیل ماتریس دو فازی از  $\alpha_2 + \gamma$  شده است. اندازه متوسط دانه‌های  $\gamma$  و لایه‌ای در حدود  $10$  میکرون است. کسر حجمی بالای سیلیسایدها در مقایسه با نمونه A2 سبب ریزتر شدن دانه‌ها شده است.

### بحث

#### ساختار نمونه‌های تغییر شکل یافته

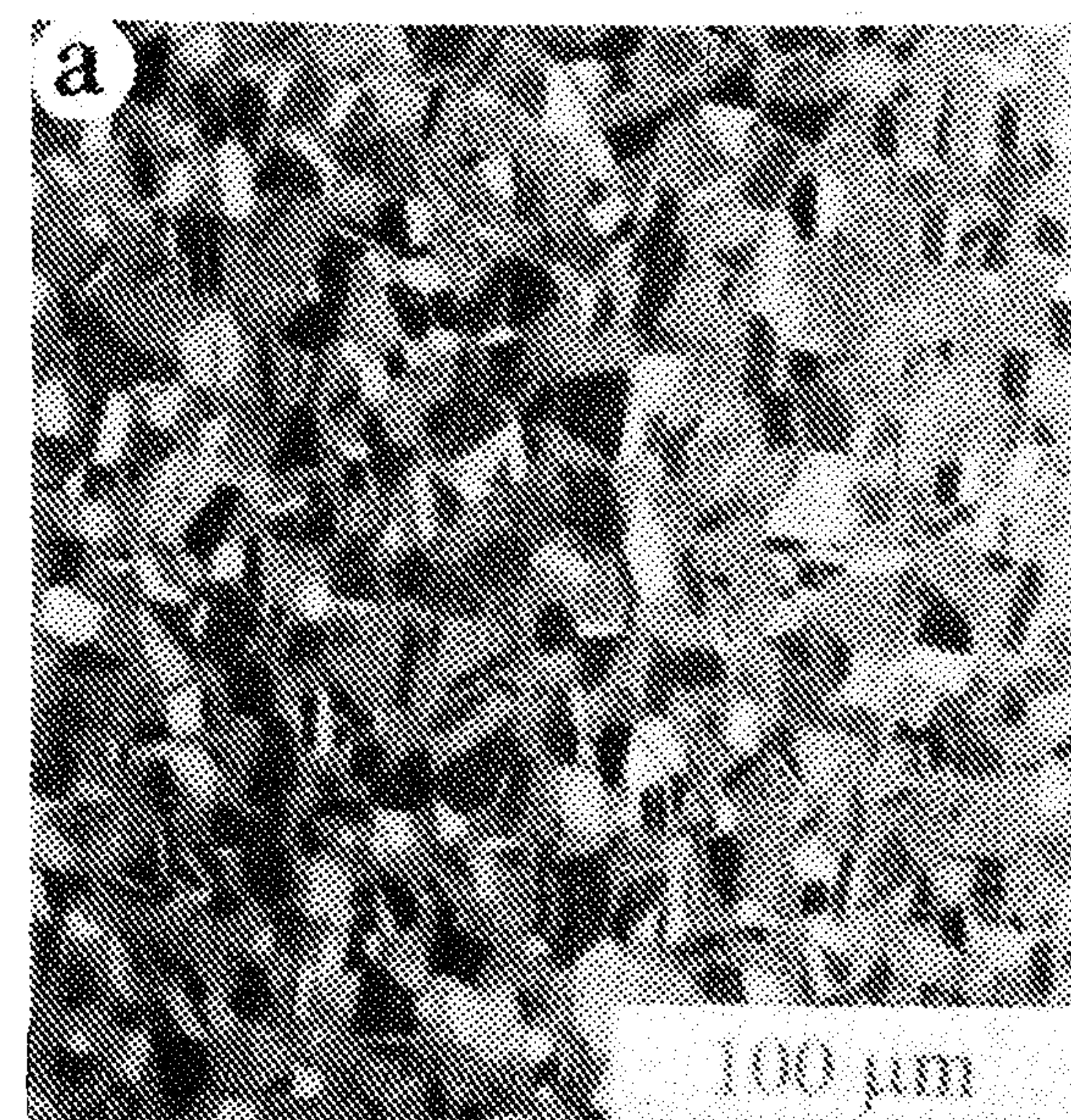
همانطور که قبل نشان داده شد ریز ساختار و ترکیب شیمیایی آلیاژها در حالت ریختگی غیر همگن می‌باشد. ناهمگنی‌های ساختاری نظیر غیر یکنواختی اندازه دانه‌ها و توزیع فازها اثرات خود را در آلیاژی که بر روی آن عملیات ترمومکانیکی انجام می‌شود بروز می‌دهند. جهت حذف ناهمگنی‌های همراه آلیاژهای ریختگی پرس کاری ایزواستاتیک گرم مورد نیاز می‌باشد. این عمل همچنین سبب کاهش ریزمک‌ها و ریزترک‌های موجود در ماتریس می‌شود.

دانه‌های ریز که در تجدید تبلور دینامیک ایجاد می‌شوند در نواحی زیر تشکیل می‌شوند:

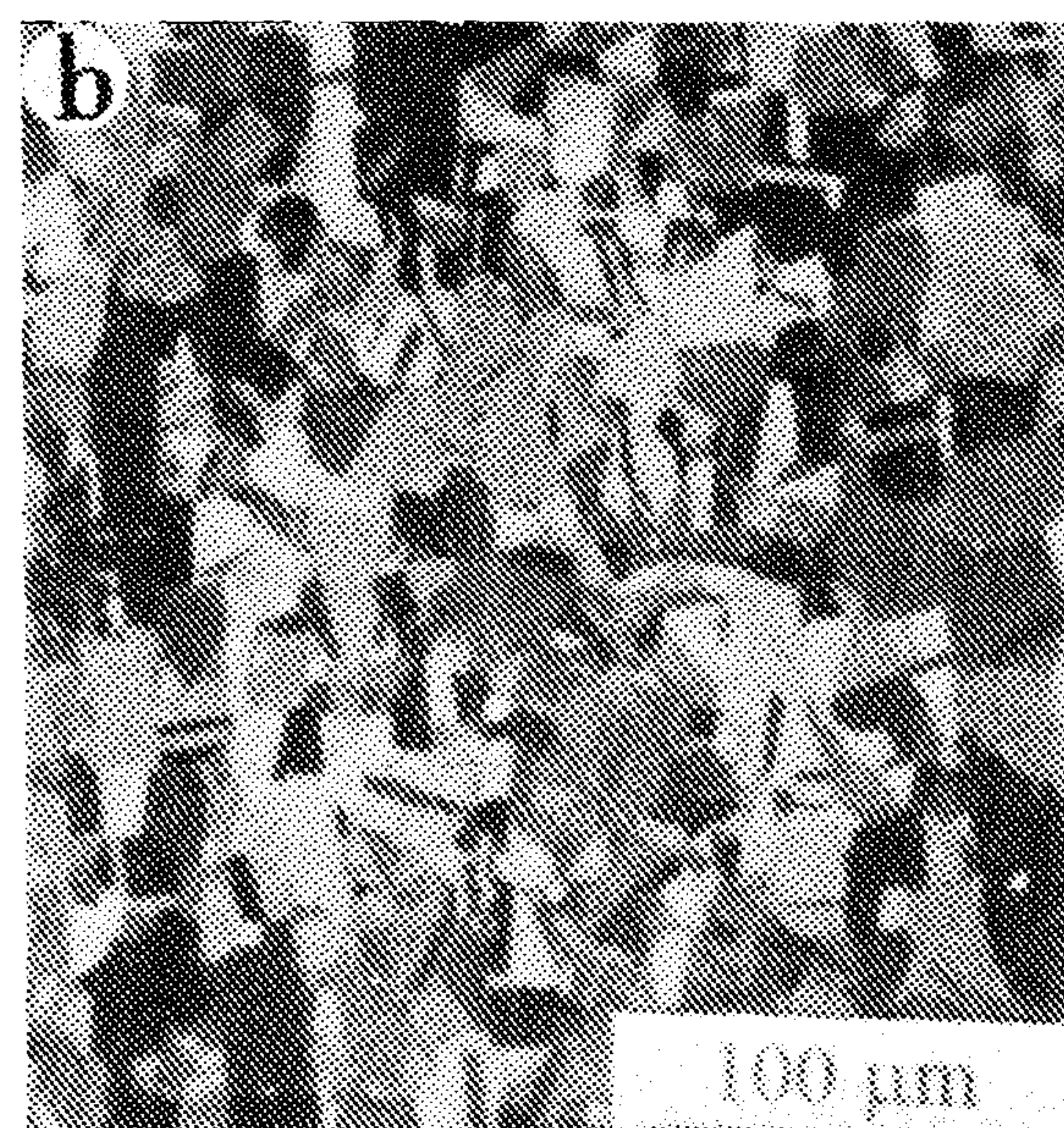
۱ - نواحی تک فاز  $\gamma$  زیرا این فاز قسمت عمدی کرنش را به دلیل استحکام کمتر آن در مقایسه با ساختار لایه‌ای  $\alpha_2 + \gamma$  متحمل می‌گردد.

۲ - ماتریس اطراف سیلیساید‌های یوتکتیکی، به دلیل آنکه حتی در  $1000^{\circ}\text{C}$  ذرات سیلیساید، سخت و غیر قابل تغییر شکل هستند و فلز اطراف آنها شدیداً دچار تغییر شکل موضعی می‌شود و نیروی محرکه قابل توجهی برای تجدید تبلور بعدی فراهم می‌آورد.

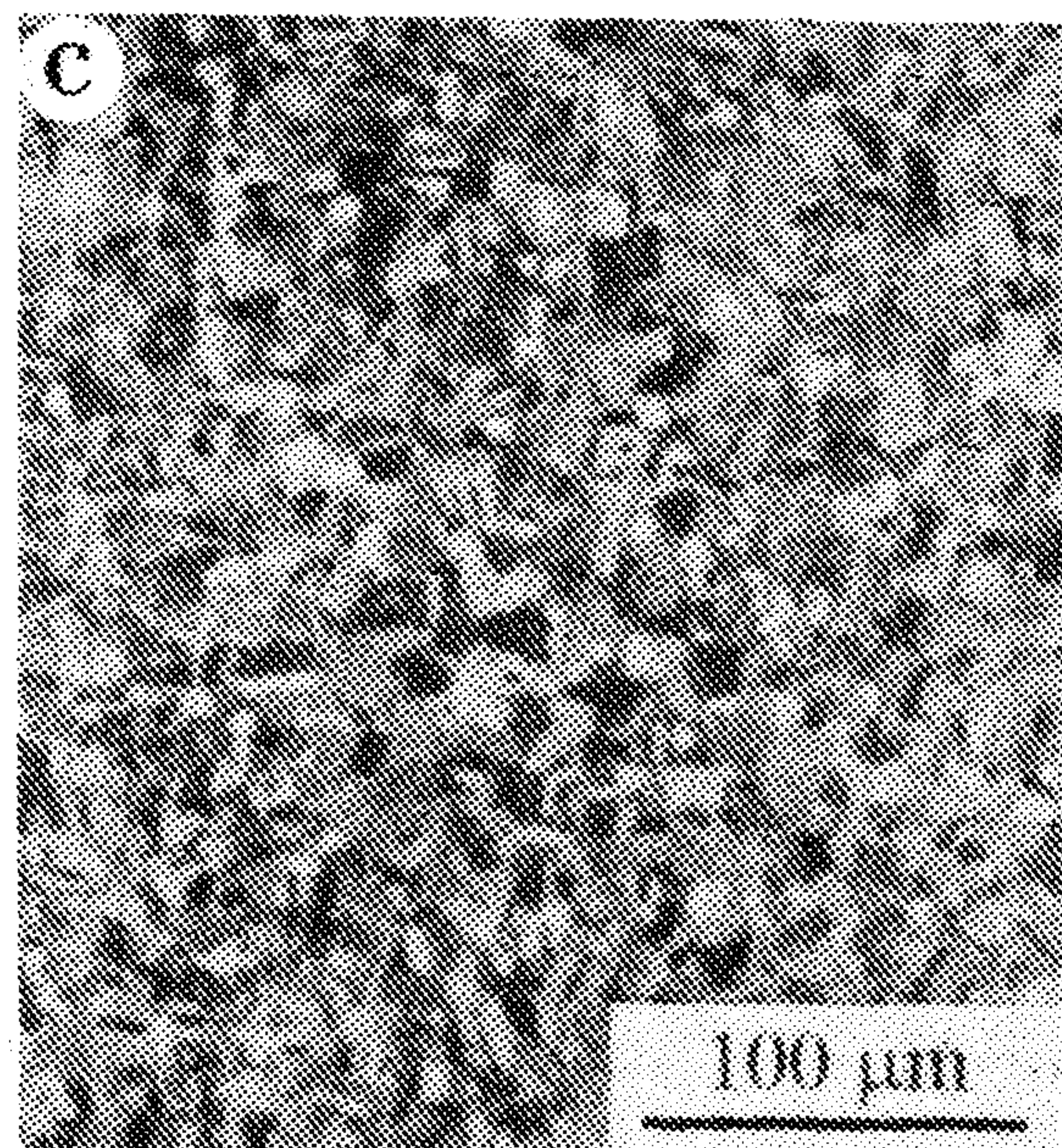
۳ - در محل برخی از دانه‌های لایه‌ای  $\alpha_2 + \gamma$  به دلیل جهت مناسب آنها نسبت به محور بارگذاری در ضمن فرآیند



(a) آلیاژ A3، مقدار کرنش حقیقی ۱/۱.

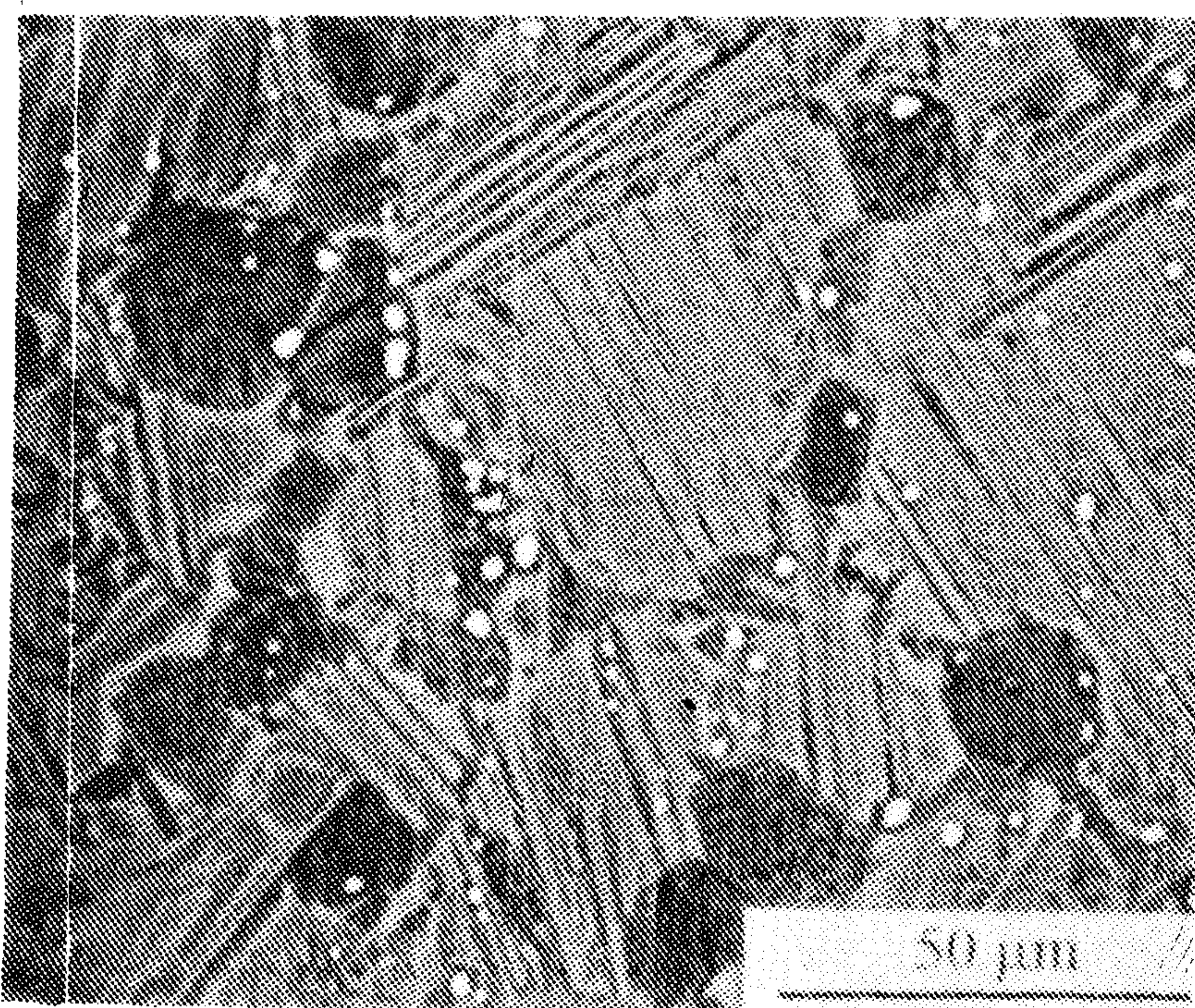


(b) آلیاژ A2، مقدار کرنش حقیقی ۰/۸۸.

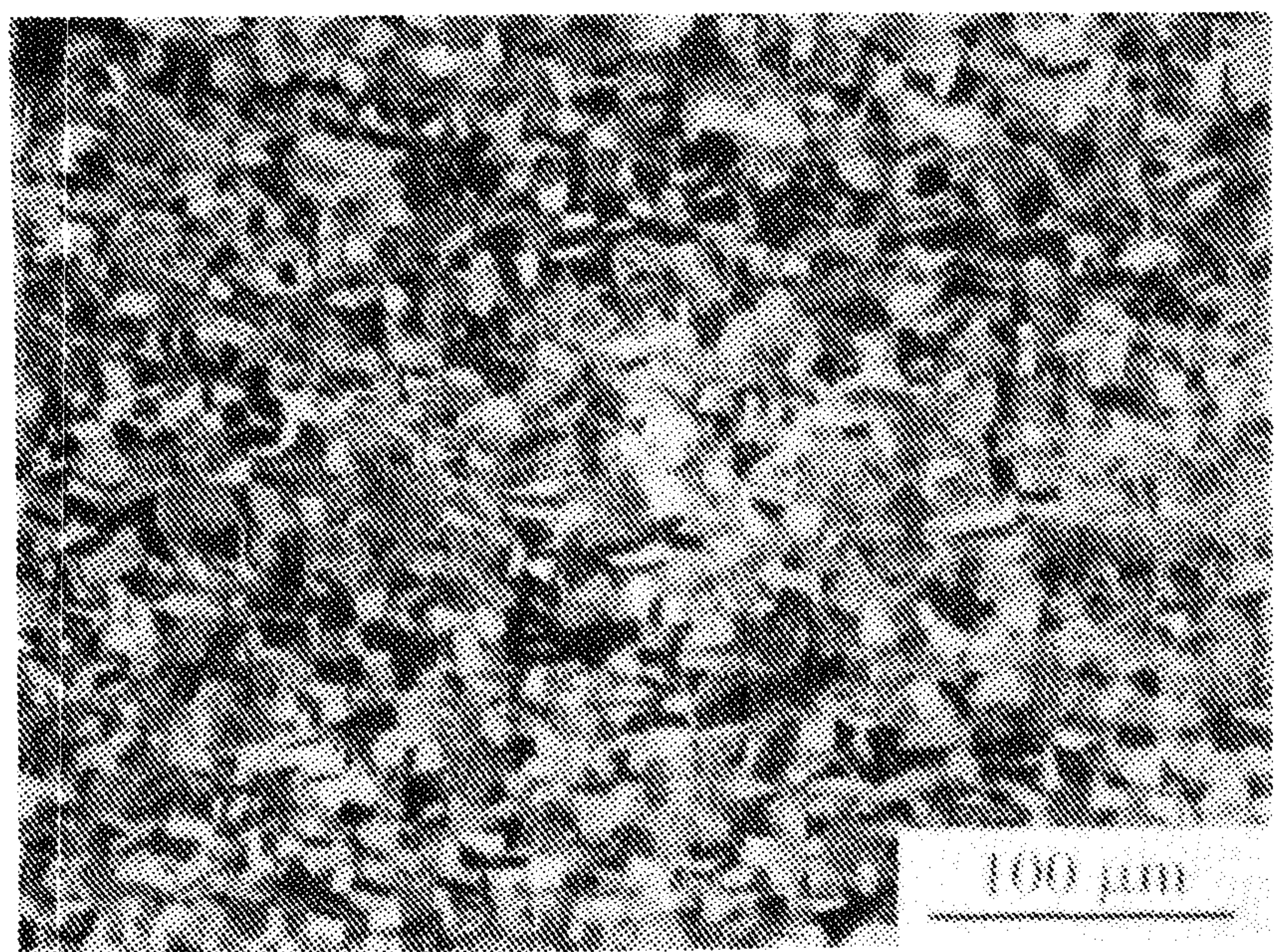


(c) آلیاژ A1، مقدار کرنش حقیقی ۱/۴.

شکل ۸: تصویر میکروسکوپی نوری از مقاطع عمودی نمونه‌ها که در  $950^{\circ}\text{C}$  و با سرعت کرنش  $5 \times 10^{-4} \text{ S}^{-1}$  تغییر شکل یافته و سپس در  $1290^{\circ}\text{C}$  بعدت ۲ ساعت بازپخت شده‌اند.



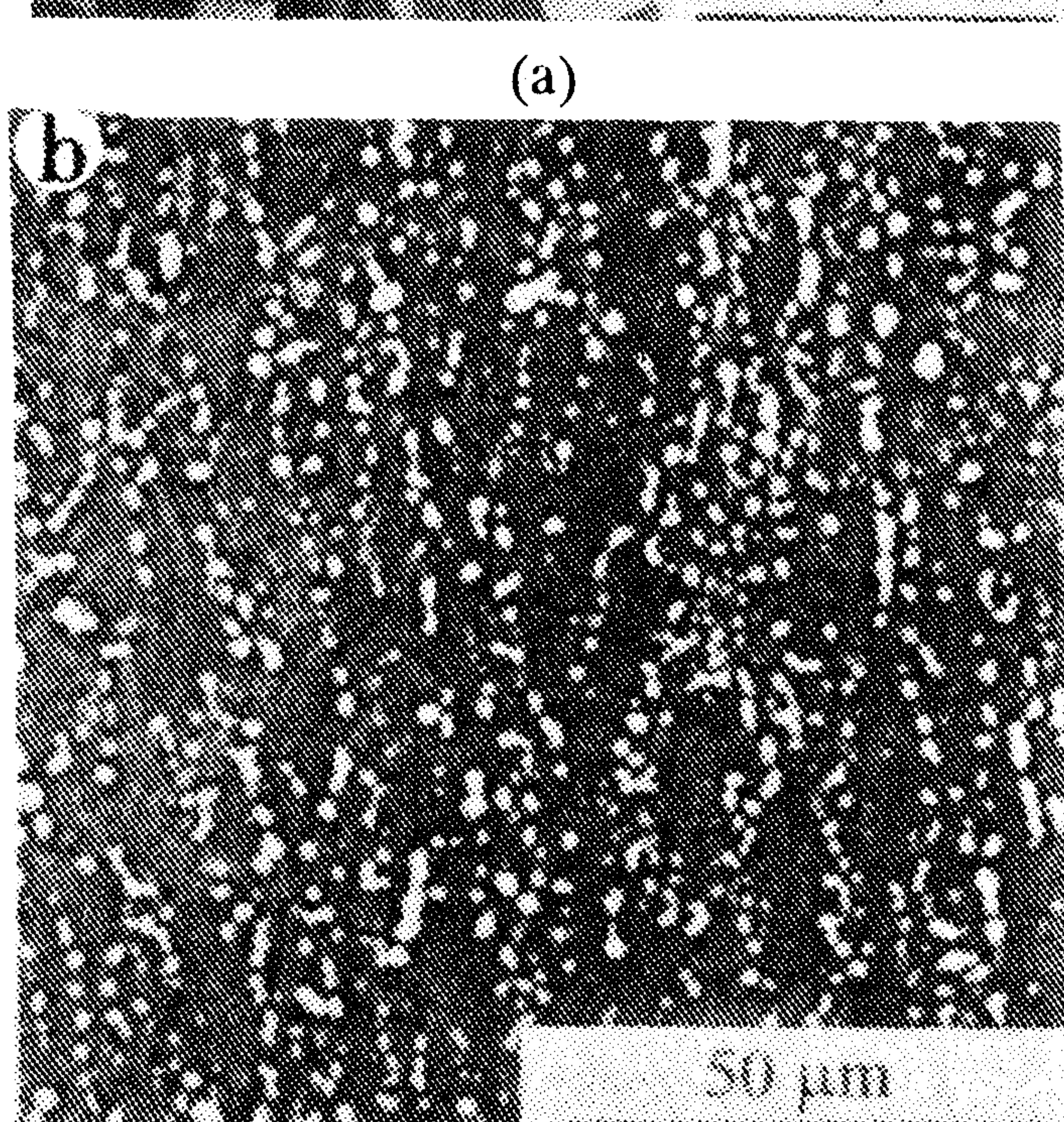
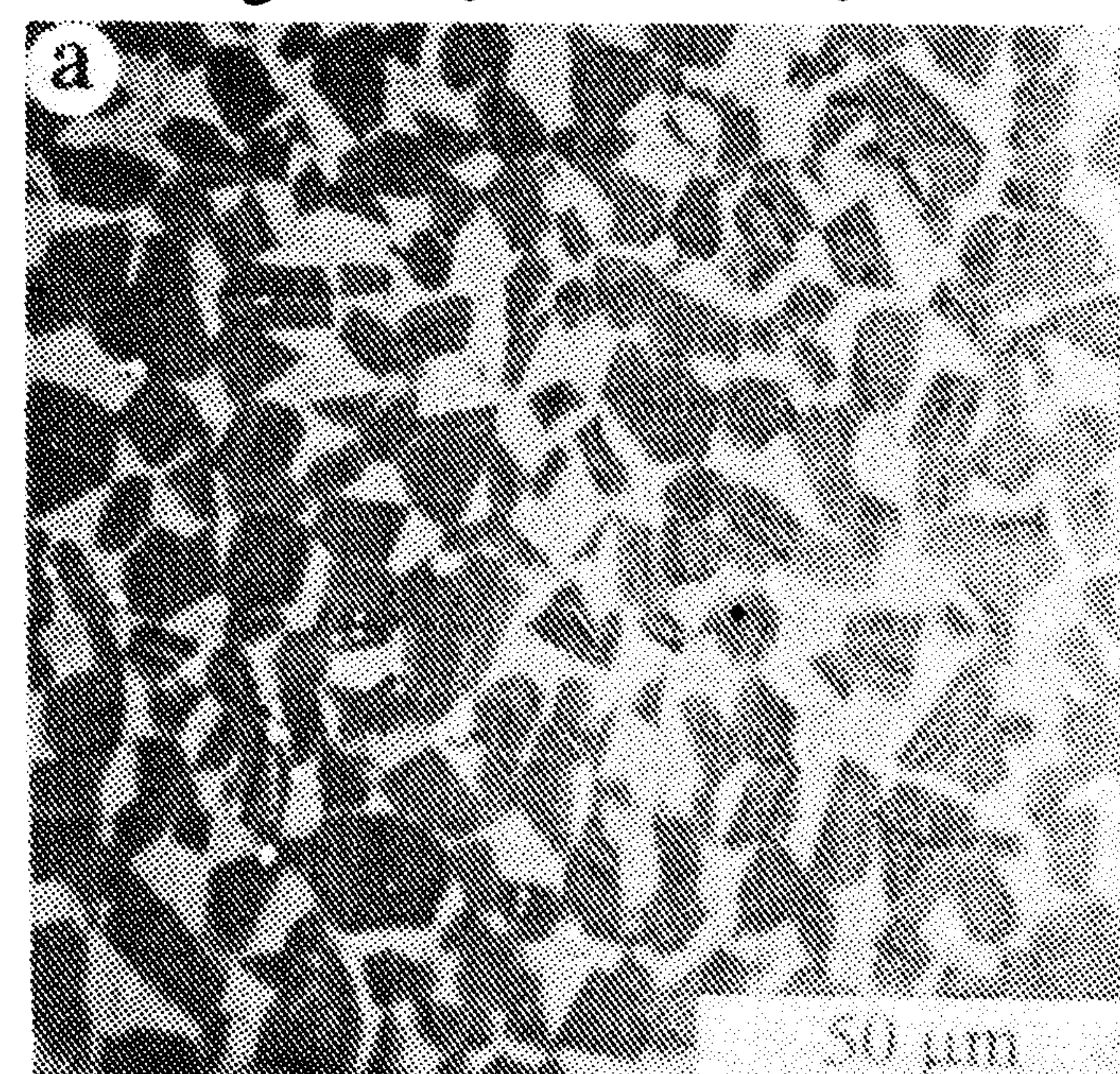
شکل ۱۰: تصویر BE از آلیاژ A2 که در  $950^{\circ}\text{C}$  با سرعت کرنش  $10^{-3}\text{s}^{-1}$  و بمقدار کرنش حقیقی  $1/2$  تغییر شکل یافته و سپس در  $1330^{\circ}\text{C}$  بمدت ۲ ساعت بازپخت شده است؛ مقطع عمودی.



شکل ۱۱: تصویر میکروسکوپ نوری از آلیاژ A1 که در  $950^{\circ}\text{C}$  با سرعت کرنش  $10^{-3}\text{s}^{-1}$  و بمقدار کرنش حقیقی  $1/39$  تغییر شکل یافته و سپس در  $1330^{\circ}\text{C}$  بمدت ۲ ساعت بازپخت شده است؛ مقطع عمودی.

۴ - مرز دانه‌های لایه‌ای  $\alpha_2 + \gamma$  جایی که تماس دانه‌ها با هم دارای طبیعت در هم قفل شده است. این نوع مرز دانه سبب می‌شود که لغزش ناشی از تغییر شکل، با در هم شکستن لبه‌های برآمده و در هم قفل شده مرز دانه‌ها همراه باشد و تغییر شکل موضعی بیشتری را سبب گردد. سیلیساید‌های یوتکتیکی نقش عمده‌ای را در تجدید تبلور

تغییر شکل ساختار لایه‌ای به واسطه طبیعت آن خواص مکانیکی شدیداً غیر یکنواختی را دارد و قابلیت شکل پذیری وقتی که لغزش اصلی در جهت موازی با لایه‌ها صورت می‌پذیرد خیلی خوبست و زمانی که لغزش در عرض لایه‌ها رخ می‌دهد قابلیت شکل پذیری ضعیف می‌باشد. بنابراین بسته به زاویه بین مرز لایه‌ها با محور بارگذاری، تغییر شکل می‌تواند به روش آسان یا سخت صورت پذیرد. اگر دانه لایه‌ای با روش آسان تغییر شکل دهد مقدار بیشتری از کرنش را در مقایسه با دانه‌ای که به روش سخت تغییر شکل داده متتحمل می‌گردد. این سبب تغییر در ریز ساختار و ذخیره شدن مقادیر مستفاوتی از انرژی‌های ذخیره شده در دانه‌های لایه‌ای مختلف می‌گردد. تجدید تبلور نیز در دانه‌هایی که دارای انرژی ذخیره شده بیشتری هستند زودتر اتفاق می‌افتد.



شکل ۹: تصویر BE از نمونه‌های (a) شکل ۸a و (b) شکل ۸c.

بودن سیلیسایدها بستگی به کسر حجمی آنها در ریز ساختار دارد.

توزیع اندازه دانه‌ها در نمونه‌ها بسیار یکنواخت است. چنین یکنواختی هرگز نمی‌تواند در آلیاژ دو تایی  $TiAl$  که در یک جهت تغییر شکل یافته به دست آید. در آلیاژهای دوتایی، فقط بعد از عملیات ترمومکانیکی چند مرحله‌ای و چند جهتی امکان دستیابی به اندازه یکنواخت دانه‌ها وجود دارد [۵]. در این آلیاژها، سیلیسایدها ریز کنترل کننده اصلی اندازه دانه‌ها هستند. کسر حجمی و چگونگی توزیع فاز  $\alpha_2$  نقش مهمی در افزایش شکل پذیری آلیاژهای  $\beta$ -دارند. نتایج پژوهش حاضر نشان می‌دهد که کسر حجمی مناسبی از فاز  $\alpha_2$  و نیز یکنواختی خوبی از توزیع اندازه دانه‌ها بعد از عملیات حرارتی یک یا دو مرحله‌ای در دماهای متوسط (حدود  $1280^{\circ}C$ ) در نمونه‌های حاوی سیلیسیم بیش از ۱٪، ماتریسی از فاز  $\beta$  که در آن ذرات سیلیساید یوتکنیکی پراکنده‌اند بدست می‌دهد. در آلیاژهای با سیلیسیم بالا (۱٪ و بیشتر) عملیات حرارتی در  $1330^{\circ}C$  منجر به مقدار قابل ملاحظه‌ای از فاز  $\alpha_2$  می‌شود. جالب توجه است که بازپخت روی نمونه‌هایی با ترکیب یوتکنیک و کسر حجمی بالایی از سیلیساید، می‌تواند در دماهای بالا بدون خطر رشد دانه‌ها انجام شود. اما در نمونه‌های حاوی سیلیسیم کمتر، به دلیل کاهش کسر حجمی سیلیسایدها در دمای بالا، خطر رشد دانه‌ها بالاست.

کاهش دمای تغییر شکل از  $1000^{\circ}C$  به  $950^{\circ}C$  و سرعت کرنش از  $10^{-4}S^{-1}$  به  $10^{-5}S^{-1}$  تاثیر چندانی بر روی ساختار نهایی نمونه‌های عملیات حرارتی شده ندارند. امکان بررسی سرعتهای بالاتر تغییر شکل به دلیل حساسیت بالای این آلیاژها به سرعت کرنش در دماهای پایین، یعنی افزایش شدید نیروی لازم برای تغییر شکل با سرعت تغییر شکل میسر نبود.

### نتیجه گیری

ریز ساختار نمونه‌های تغییر شکل یافته نشان داد که سیلیسایدها یوتکنیکی نقش عمدی را در تخریب ساختار ریختگی و نیز در تجدید تبلور بعدی ایفا

دینامیکی (و نیز استاتیکی) به خصوص در نمونه‌های با مقدار سیلیسیم بالا بازی می‌کنند. این نقش نه تنها به واسطه قابلیت آنها در فراهم نمودن تغییر شکل بالای محلی (و نیروی محركه بیشتر برای جوانه زنی بعدی)، بلکه به واسطه عملکرد آنها به عنوان محلهای جوانه زنی در ضمن فرآیند تجدید تبلور می‌باشد. اما، توزیع سیلیسایدها یوتکنیکی در ساختار ریختگی غیر یکنواخت است و این غیر یکنواختی به ساختار تغییر شکل یافته منتقل می‌گردد. توزیع یکنواخت ذرات سیلیساید می‌تواند با فرآیند تغییر شکل چند مرحله‌ای و در چند جهت حاصل شود. سیلیسایدها یی که در حالت جامد رسوب نموده و به فاصله کمی از هم قرار می‌گیرند، می‌توانند نابجایی‌های متحرک را قفل نمایند و فرآیندهای ترمیم و تبلور مجدد را به تاخیر بیندازند. آنها همچنین می‌توانند در مرز دانه‌های تجدید تبلور یافته رسوب نمایند و حرکت آنها را کند نمایند و بدین ترتیب رشد دانه‌ها را کنترل نمایند.

### ساختار نمونه‌های بازپخت شده

تصاویر میکروسکوپی نوری از ساختارهای بازپخت شده نشان می‌دهد که عملیات ترمومکانیکی در اغلب موارد موجب حذف ساختار لایه‌ای  $\alpha_2 + \beta$  و ایجاد ساختار دانه‌ای هم محور می‌گردد. موارد استثنایی که در آنها ساختار لایه‌ای وجود دارد عبارتند از:

۱ - نمونه‌هایی که مقدار کرنش آنها خیلی کم است، یعنی کمتر از حداقل مقداری که برای تخریب ساختار لایه‌ای مورد نیاز است.

۲ - نمونه‌هایی که بعد از تغییر شکل، در دماهای بالا بازپخت شده‌اند. واضح است که دانه‌های لایه‌ای که در این نمونه‌ها مشاهده می‌شوند، باقیمانده‌های ساختار ریختگی نیستند، بلکه از تجزیه فاز  $\alpha$  که در دمای بازپخت ایجاد شده‌اند به دست می‌آیند.

در نمونه‌های با مقادیر سیلیسیم بیش از ۱٪ اتمی، ریز ساختار نهایی حتی در مقادیر کرنش خیلی کم حاوی  $\alpha_2 + \beta$  باقی مانده نبود و این می‌تواند به اثر مخرب سیلیسایدها یوتکنیکی سخت بر روی ریز ساختار ریختگی، در ضمن فرآیند تغییر شکل نسبت داده شود. در این رابطه مؤثر

نشکیل مقدار قابل توجهی از فاز  $\alpha_2$  بدون خطر رشد دانه ها می شود.

### قدردانی

بدینوسیله از معاونت محترم پژوهشی دانشگاه تهران و دانشکده فنی بدلیل حمایت مالی قدردانی می گردد.

بازبخت نمونه های پرس شده منجر به تشکیل ساختاری از دانه های هم محور گردید. ملاحظه شد که سیلیساید ها اندازه دانه ها را بسیار خوب کنترل می نمایند. اما توزیع آنها در زمینه همواره غیر یکنواخت است.

در نمونه های با Si کم (کمتر از ۱٪)، کسر حجمی فاز  $\alpha_2$  می تواند با دمای بازبخت کنترل شود. در نمونه های با Si بالا، بازبخت در دماهای بالا (مثل ۱۳۳۰°C) منجر به

### مراجع

- 1 - Kim, Y-W. and Dimiduk, D. M. (1991). *JOM*, 40.
- 2 - Es-Souni, M., Beaven, P. A. and Wagner, R. (1990). *Scripta Met.*, 24, 2175.
- 3 - Heshmati-Manesh, S. and Flower, H. M. (1994). "Liquidus projection of Ti-Al-Si Ternary System in Vicinity of  $\gamma$  Alloys." *Mat. Sci. Tech.*, 10, 674.
- 4 - Johnson, D. G., Inui, H. and Yamaguchi, M. (1996). *Acta Met.*, 44, 2523.
- 5 - Koeppe, C. Bartels, A., Seeger, J. and Mecking, H. (1993). *Metall. Trans.*, 24A, 1975.
- 6 - Yamaguchi, M., Nishitani, S.R. and Shirani, Y. (1990). "High temperature aluminides and intermetallics." ed. S. H. Whang etal., (TMS, warrendale, PA). 63.

### واژه نامه

1 - In-Situ Composites

کامپوزیت های درجا

2 - Monolithic

مونولیتیک

3 - Backscattered Electron Image, BEI

تصاویر الکترونی بازگشتی